

蒙古气旋底部冷锋类暴雨分析与预报

王宪滨 张丹梅 (阜新市气象局 123000)

1 前言

阜新地区位于辽宁西北部,暴雨偏少,平均年暴雨日为1.5个,而气旋底部冷锋类暴雨就占28.5%(表1)。由表1可见,此类暴雨预报在

表1 1970~1994年暴雨分型统计

系统类型	台风	迎江	淮河	套蒙	气底	华北	其他
西风槽	5	3	13	14	8	6	
气旋							
次数	5	3	13	14	8	6	
百分率(%)	10.2	6.1	26.5	28.5	16.3	12.2	

阜新地区暴雨预报中占有比较重要的地位。气旋底部冷锋暴雨多出现南来系统影响较少的年份,时间多出现在7月中下旬至9月份,多以局地暴雨为主,常伴有冰雹和大风天气,给工农业生产造成较严重的灾害。由于该系统的突发性和局地性特点,预报难度较大,本文利用1970~1994年14次蒙古气旋底部暴雨资料,选取有关形势场和环境要素场,建立起预报模式。

2 环流形势

通过对14次蒙古气旋底部冷锋类暴雨个例,采用统计分析得出表2结果。在暴雨前一

表2 蒙古气旋底部冷锋类暴雨个例降水 mm

年.月.日	阜新	彰武	年.月.日	阜新	彰武
1972.8.1	50.8	—	1982.7.15	52.5	—
1973.7.31	77.7	—	1982.8.17	65.5	—
1973.8.21	—	72.7	1984.9.7	—	80.4
1974.8.9	58.0	—	1988.7.22	—	144.6
1978.7.25	—	59.0	1989.7.23	72.6	73.5
1979.7.15	—	52.0	1989.9.23	57.5	—
1981.7.28	76.5	—	1990.9.16	95.7	59.9

日500hPa高空图和地面图(图1—图2)可以看出,造成此类暴雨主要是500hPa副高西伸或地面图上鄂海高压稳定,并且和海上高压打通形成阻塞。根据副高西伸的位置不同又分副高西伸A型、副高西伸B型。

副高西伸A型指588线伸到110°E以西、北界30°N以北,副高平均脊线位于25~35°N。

巴湖以北,贝湖以西有较强暖高压脊向北伸到极地,引导极地冷空气南下,锋区在40~50°N、100~130°E,基本上与纬线平行,风场与温

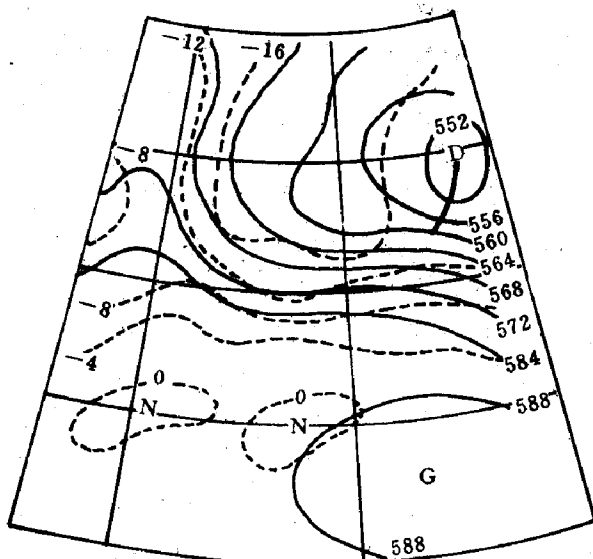


图1 西伸A型暴雨前一日 500hPa高度、温度合成平均

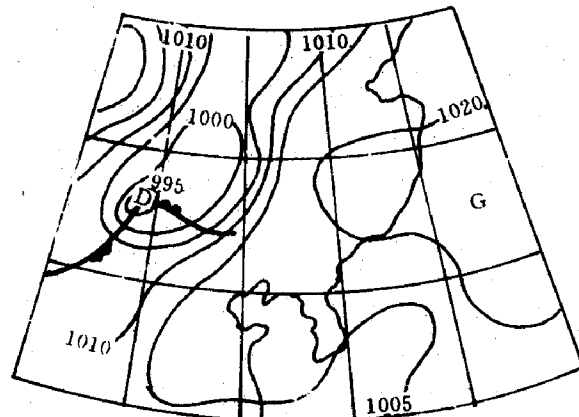


图2 阻塞型暴雨前一日 08时地面气压场合成平均度场成直角。因此,冷平流较强,在它南部的副高稳定少动,使锋区得到不断的加强,这时700hPa槽位于35~45°N、105~118°E,这种高低空配置非常有利于地面系统的发展。蒙古气旋受到引导气流作用东北上,而其冷锋则由于锋后高压东南下和海上高压的共同作用,呈纬向或东北西南向的准静止状态。这种两

高之间具有较强辐合作用，水汽沿700hPa槽或316线后部源源不断输送到本区，造成本区暴雨天气。

副高西伸B型和A型相比有两点差别(图略)：①588线伸到100°E以西，北界位于30~40°N；②700hPa槽不明显，850hPa在44~48°N、114~120°E有闭合低中心，底部有Ω型暖舌相配合，这种中低层的高温高湿和强辐合极有利于对流性局地暴雨的形成。

阻塞类指副高偏东或偏南时，鄂海高压稳定，并且和海上高压打通形成阻塞。500hPa槽位于40~45°N、105~115°E区域，槽前后冷暖平流明显，锋区呈东北西南向。700、850hPa也有相应大槽配合，且在槽前40~45°N有明显暖舌，三层至少一层有较好的水汽输送条件。冷空气在贝湖附近顺高空东南下，形成了较为有利的高空条件。另外地面气旋得到发展加强后，沿引导气流方向东北上，冷锋后部高压东南压，海上高压稳定维持，冷锋位于两高之间狭长的较强辐合区里，这时若有弱低压北上或850、700、500hPa有南北贯通大槽输送水汽，便形成了本区的暴雨天气过程。

3 水汽输送和不稳定条件

经统计发现：9月份的局地暴雨，由于受季节影响，所分析的几种物理量值均达不到标准，所以对于9月份暴雨不做讨论。

3.1 水汽条件

充沛的水汽条件，是暴雨形成的条件之一。我们通过对暴雨前一日850hPa露点和温度露点差分析发现：与高空槽相配合的湿度场，在850hPa出现 $T_d \geq 16^{\circ}\text{C}$ 、 $T - T_d \leq 5^{\circ}\text{C}$ 的湿舌，湿舌的轴向与低空急流的轴向一致，轴长在5个经距以上。同时700hPa有时也具有 $T - T_d \leq 5^{\circ}\text{C}$ 的湿中心存在。当在本区附近850hPa图上形成冷涡时，上述条件不再具备。

3.2 对流不稳定

对流不稳定是产生暴雨、雷雨、冰雹等灾害性天气的主要机制。我们用500hPa和850hPa的能量之差作为对流不稳定的指标。通过分析发现暴雨前一日35~45°N、105~120°E地区

$T_{g5} - T_{g8} < 0$ ，为冷锋暴雨的发生提供了动力抬升作用。

4 预报模式

根据综合分析结果，在大尺度环流背景条件、影响天气系统、环流物理条件中，选择物理条件清楚、独立性较好的预报因子，建立24h预报模式。

4.1 副高西伸A型

4.1.1 起始场关键区

4.1.1.1 30~35°N、110~120°E为Ⅰ关键区，表示副高环流背景条件。

4.1.1.2 35~45°N、105~120°E为Ⅰ关键区，表示高空槽条件。

4.1.1.3 44~53°N、105~125°E为Ⅱ关键区，表示蒙古气旋条件。

4.1.1.4 50~69°N、80~95°E为Ⅳ关键区，表示贝湖高压脊条件(图3)。

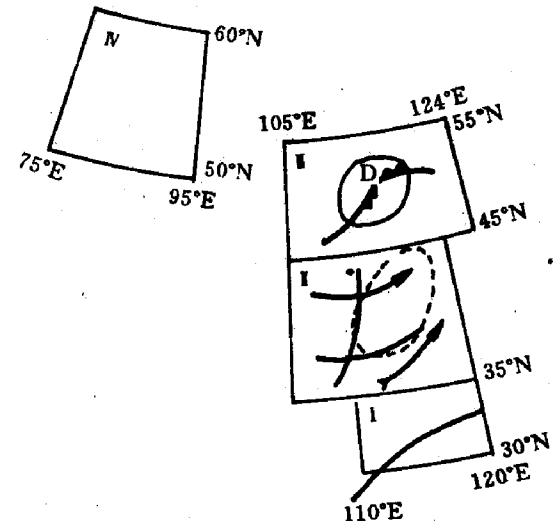


图3 西伸A型暴雨预报模式示意

粗实线代表700hPa槽线，粗箭线代表低空急流，细箭线代表流线，点划线代表 $T_d \geq 16^{\circ}\text{C}$ 、 $T - T_d \leq 5^{\circ}\text{C}$ 湿舌
4.1.2 预报模式条件

4.1.2.1 副高环流背景。500hPa588线西伸到110°E以西，北界过30°N。

4.1.2.2 高空槽条件。①700hPa槽位于35~45°N、105~118°E；②850hPa35~45°N、100~120°E有 $T_d \geq 16^{\circ}\text{C}$ 、 $T - T_d \leq 5^{\circ}\text{C}$ 区域；③低空急流风速 $\geq 8\text{m/s}$ 位于700hPa或850hPa槽前，轴长在5个经距以上。

4.1.2.3 蒙古气旋在44~53°N、105~125°N。

4.1.2.4 500hPa 高压脊位于 $50\sim60^{\circ}\text{N}$ 、 $85\sim95^{\circ}\text{E}$ 。

4.2 副高西伸 B型

4.2.1 起始场关键区

4.2.1.1 $30\sim40^{\circ}\text{N}$ 、 $100\sim120^{\circ}\text{E}$ 为 I 关键区，代表副高环流背景条件。

4.2.1.2 $44\sim50^{\circ}\text{N}$ 、 $105\sim120^{\circ}\text{E}$ 为 I 关键区，代表低涡和气旋条件。

4.2.1.3 $50\sim60^{\circ}\text{N}$ 、 $75\sim95^{\circ}\text{E}$ 为 II 关键区，表示巴湖暖高压脊条件(图 4)。

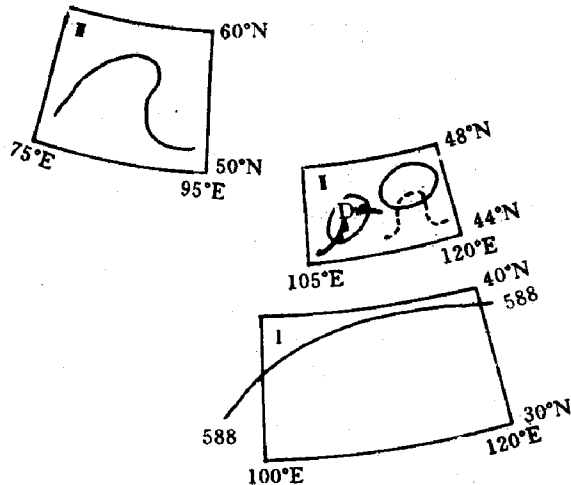


图 4 西伸 B型暴雨预报模式示意图

4.2.2 预报模式条件

4.2.2.1 副高条件。588 线西伸到 110°E 以西，北界过 30°N 。

4.2.2.2 低涡和气旋条件。①低涡位于 $850\text{hPa} 44\sim48^{\circ}\text{N}, 114\sim120^{\circ}\text{E}$ ，涡底有 Ω 型暖舌相配合；②气旋位于 $44\sim47^{\circ}\text{N}, 110\sim120^{\circ}\text{E}$ 。

4.2.3 巴湖高压脊位于： $50\sim60^{\circ}\text{N}$ 、 $75\sim95^{\circ}\text{E}$ 。

4.3 阻塞型

4.3.1 起始场关键区

4.3.1.1 $45\sim60^{\circ}\text{N}$ 、 $135\sim150^{\circ}\text{E}$ 为 I 关键区，代表鄂海阻高条件。

4.3.1.2 $30\sim45^{\circ}\text{N}$ 、 $105\sim120^{\circ}\text{E}$ 为 I 关键区，代表高空槽条件。

4.3.1.3 $44\sim50^{\circ}\text{N}$ 、 $105\sim122^{\circ}\text{E}$ 为 II 关键区，代表气旋条件(图 5)。

4.3.2 预报模式条件

4.3.2.1 鄂海阻塞高压位于 $50\sim60^{\circ}\text{N}$ 、 $135\sim140^{\circ}\text{E}$ 和海上高压打通形成高压坝。

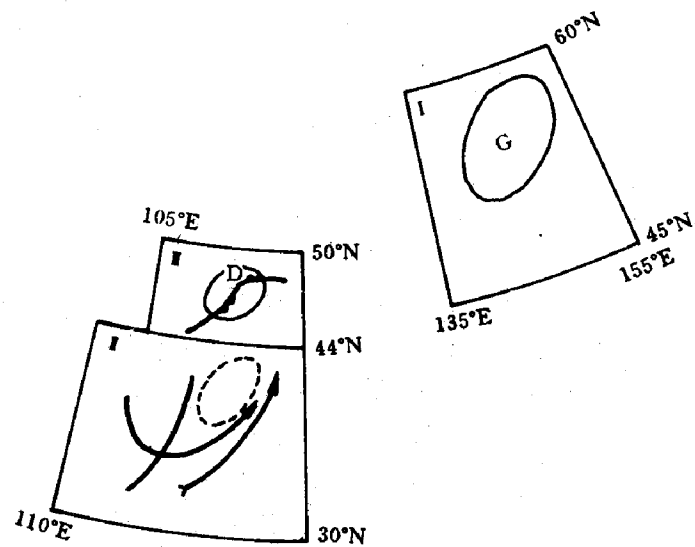


图 5 阻塞型暴雨预报模式示意

粗实线为高空槽线，粗箭线为低空急流，细箭线为流线，虚线为 $850\text{hPa} T_d \geq 16^{\circ}\text{C}, T - T_d \leq -1$ 区域

4.3.2.2 高空槽条件。① 500hPa 槽位于 $35\sim45^{\circ}\text{N}, 105\sim115^{\circ}\text{E}$ ；② 850hPa 槽位 $30\sim40^{\circ}\text{N}, 108\sim118^{\circ}\text{E}, T_d \geq 16^{\circ}\text{C}, T - T_d \leq 5^{\circ}\text{C}$ ；③ 对流不稳定， $T_{q5} - T_{q8}$ 在 $35\sim45^{\circ}\text{N}, 110\sim120^{\circ}\text{E}$ 有 ≤ -1 区域；④ 南来弱低压在地面图上位于 $35\sim45^{\circ}\text{N}, 115\sim120^{\circ}\text{E}$ ，或者 3 层等压面高空槽南北贯通，水汽沿槽前输送。

4.3.2.3 蒙古气旋位于 $44\sim47^{\circ}\text{N}, 105\sim120^{\circ}\text{E}$ 或蒙古气旋主体偏北，在关键区内 110°E 以东在冷锋上形成穿心小低压。以上各型在 7~8 月份要求条件全部满足，若有一个条件不满足，表示无此类暴雨。1996 年试报结果，有一次符合条件，即 1996 年 8 月 9 日形势场和各种物理量场都达到标准，预报阜新地区 24h 内局部有大暴雨，结果阜新县降雨 48.6mm，彰武县降雨 39.8mm，有 5 个乡镇达到暴雨标准。

5 结论

5.1 此类暴雨多出现在副高位置异常年份，分副高西伸 A型、B型和鄂海高压阻塞型。

5.2 本文提到的物理量指标 $T_d \geq 16^{\circ}\text{C}, T - T_d \leq 5^{\circ}\text{C}, T_{q5} - T_{q8} \leq -1$ 受季节影响较大，7~8 月份拟合效果较好。

